

図 34 2019 年漁期における *Coscinodiscus wailesii* の細胞密度の水平分布 (単位: cells/L)

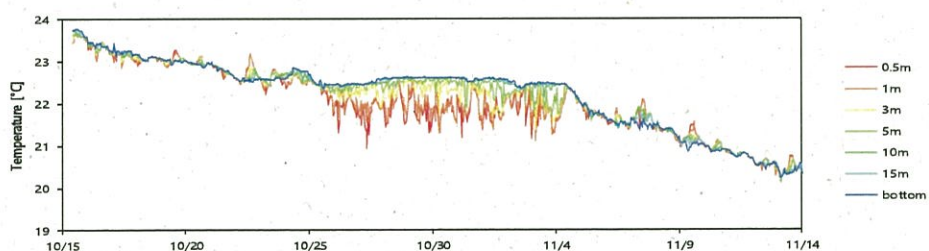


図 35 2019 年 10 月～11 月の大坂湾（阪南沖窪地）の水温の変動

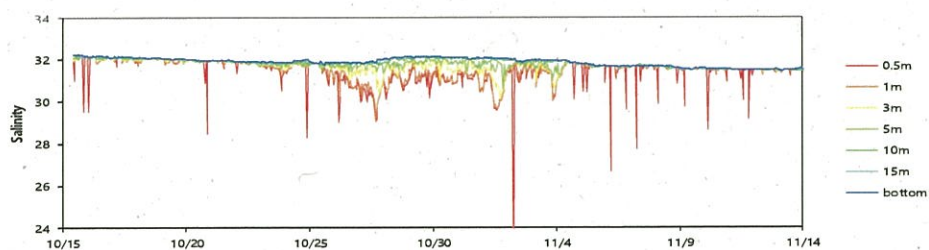


図 36 2019 年 10 月～11 月の大坂湾（阪南沖窪地）の塩分の変動

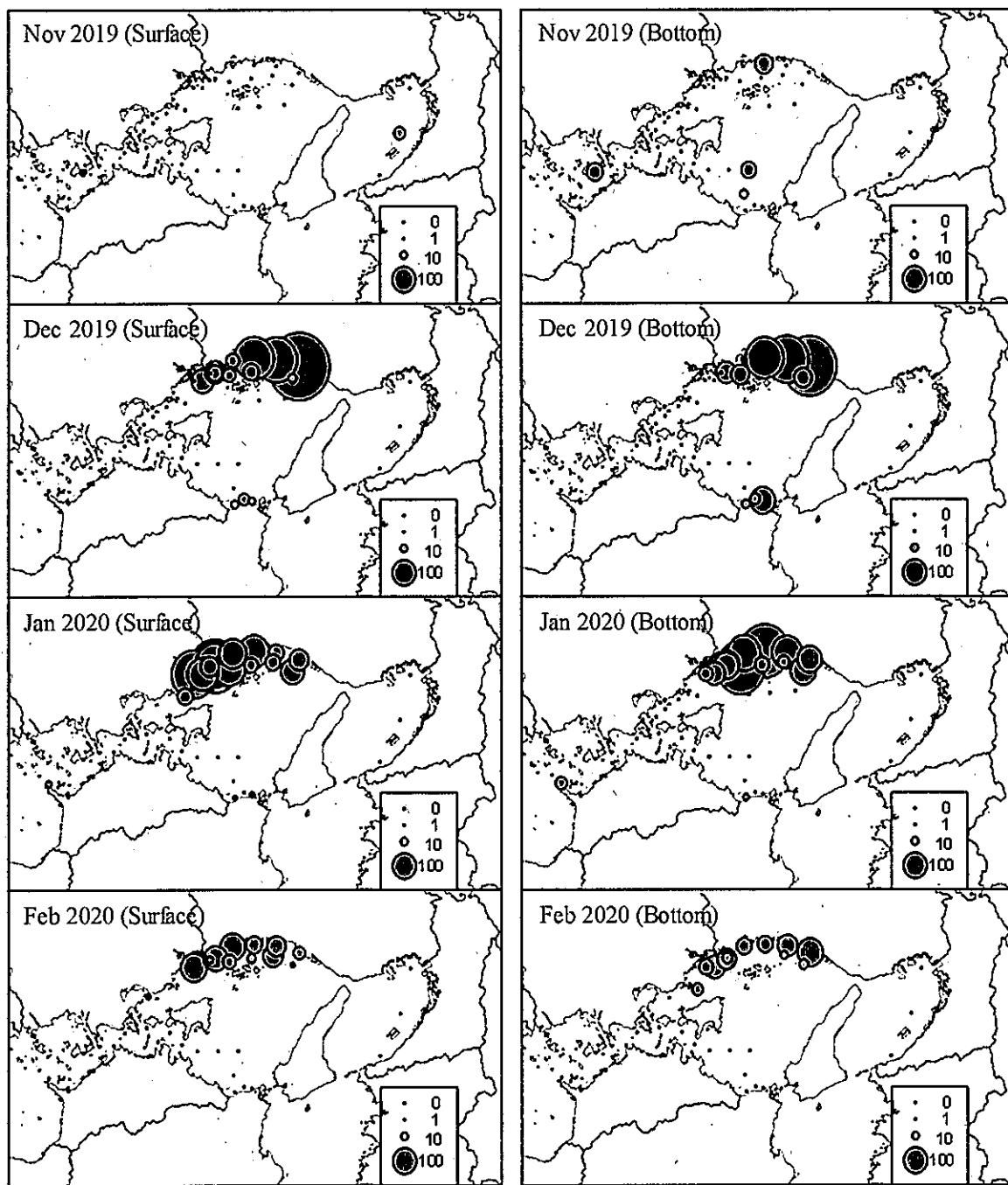


図 37 2019 年漁期における *Eucampia zodiacus* の細胞密度の水平分布 (単位: cells/mL)

表5 シャットネラ赤潮の判別予察・結果。発生含有率は「○」「△」「×」と判別されたうち発生年の含めた割合を、括弧内の分母は「○」「△」「×」と判別された母数を、分子はシャットネラ赤潮発生回数を示す。2015～2018年の予察の的中については、予察と結果が一致した場合を「◎」、「△」と予察して発生した場合を「○」、「△」と予察して非発生の場合を「△」、「△」と予察して発生した場合を「×」と表す。

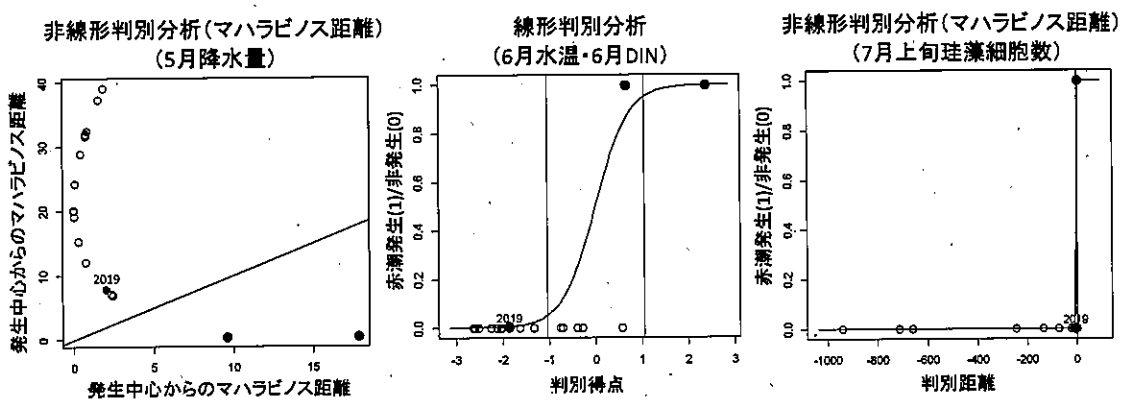


図38 徳島県海域におけるシャットネラ赤潮の発生予察結果。赤丸が発生年、白丸が非発生年、青丸が2019年（発生年）を表す。

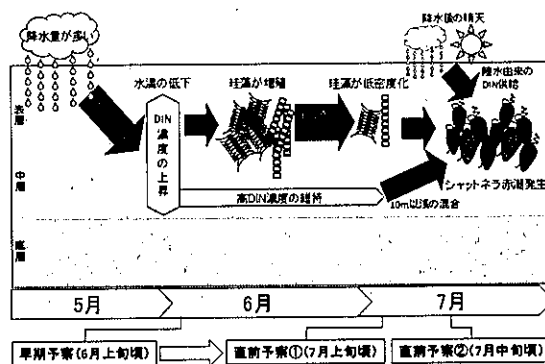


図39 徳島県海域におけるシャットネラ赤潮発生シナリオ模式図

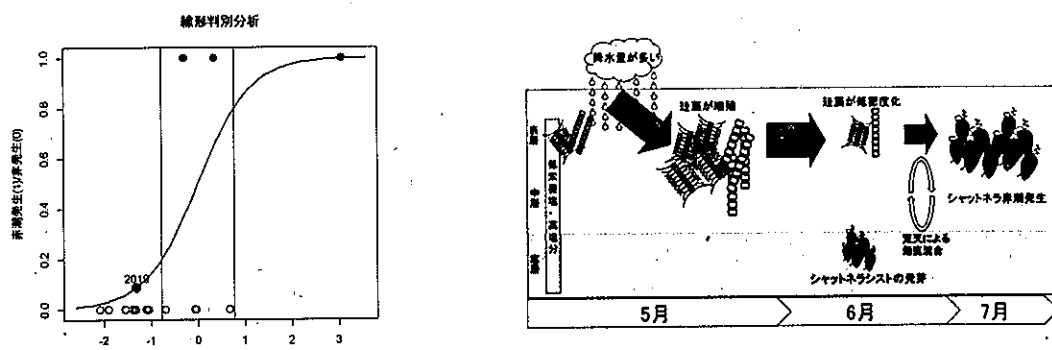


図40 香川県海域におけるシャットネラ赤潮の発生予察結果。使用データは高松地方気象台引田地域気象観測所の5月降水量、赤丸が発生年、白丸が非発生年、青丸が2019年（非発生年）を示す。

図41 香川県海域におけるシャットネラ赤潮発生シナリオ模式図

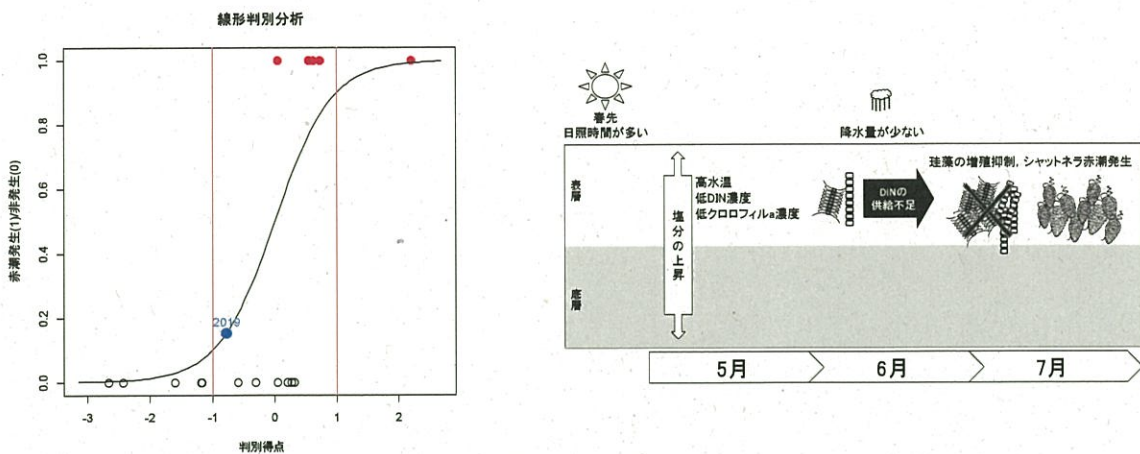


図 42 岡山県海域におけるシャットネラ赤潮の発生予察結果。使用データはOY2の5月表層水温、塩分、神戸地方気象台姫路特別地域気象観測所の6月降水量。赤丸が発生年、白丸が非発生年、青丸が2019年（発生年）を表す。

図 43 岡山県海域におけるシャットネラ赤潮発生シナリオ模式図

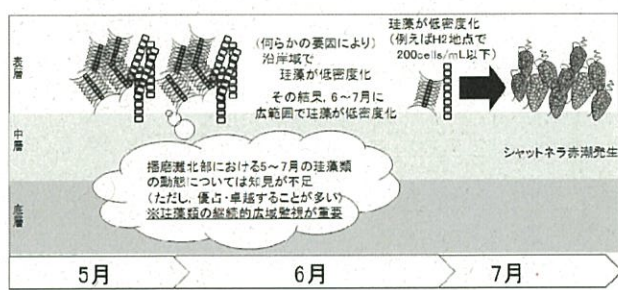


図 44 兵庫県海域におけるシャットネラ赤潮発生シナリオ模式図

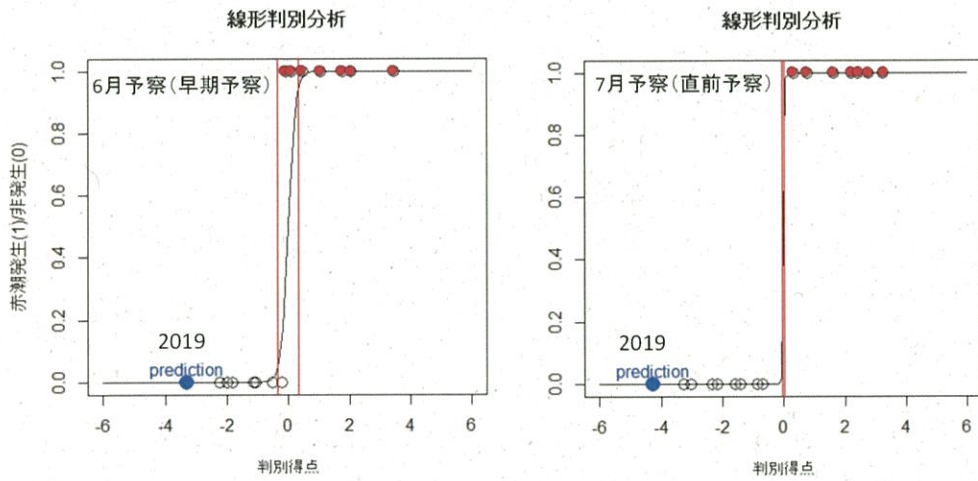


図 45 兵庫県海域におけるシャットネラ赤潮発生予察結果。使用データは5月表層水温、底層水温、6月の珪藻密度（早期予察）または7月の珪藻密度（直前予察）。赤丸が発生年、白丸が非発生年、青丸が2019年（=発生年：予察的中）を表す。

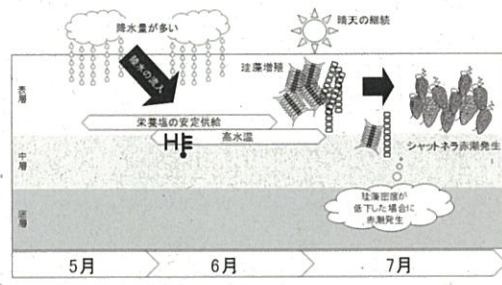


図 46 大阪府海域におけるシャットネラ赤潮発生シナリオ模式図

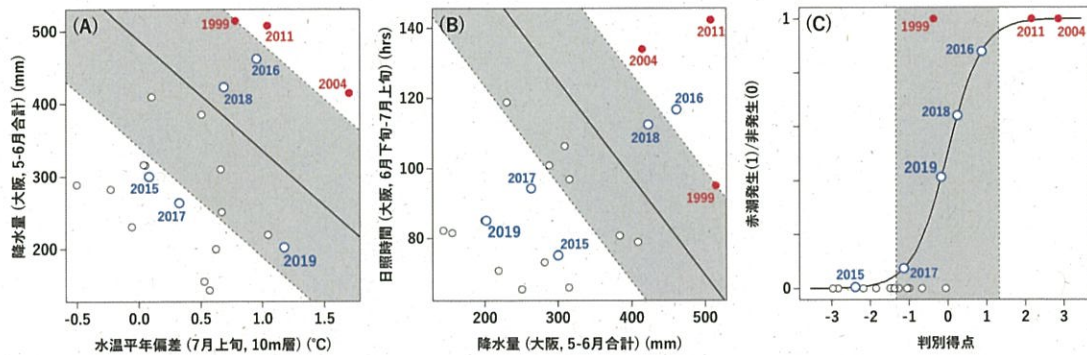


図 47 1999~2014 年データを用いた赤潮発生予察結果。●：赤潮発生年、○：非発生年、青記号・青字：予察結果（2015~2019 年はいずれも非発生年）。網掛けは「△」予察範囲。  
(A) 7月上旬水温平年偏差、5~6月合計降水量による予察。  
(B) 5~6月合計降水量、6月下旬~7月上旬日照時間による予察。  
(C) 6月下旬~7月上旬日照時間、7月上旬水温平年偏差による予察。

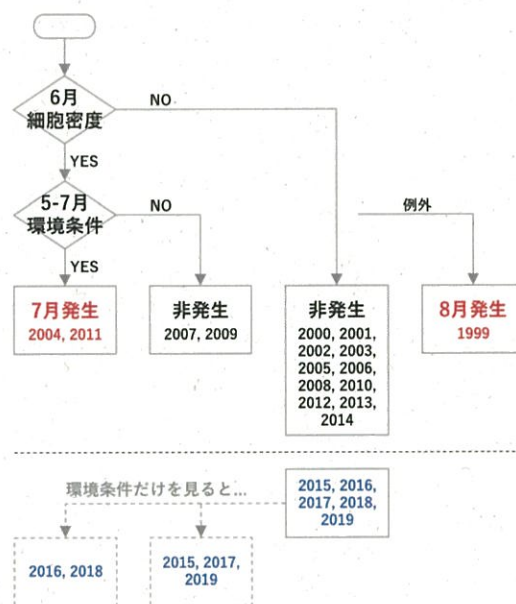


図 48 6月の Chattonella 細胞密度を加えた赤潮発生フローチャート

表6 ユーカンピア赤潮の判別予察・結果。発生含有率は「○」「△」「×」と判別されたうち発生年の含まれた割合を、括弧内の分母は「○」「△」「×」と判別された母数を、分子はシャットネラ赤潮発生回数を示す。2016～2018年の予察の的中については、予察と結果が一致した場合を「○」、「△」と予察して発生した場合を「○」、「△」と予察して非発生の場合を「△」、予察と結果が一致しなかった場合を「×」と表す。なお、2019年は、データ取得途中であるものを「—」としている。

海域	判別手法	目的変量	説明変量	説明変数 の数	判別期間 (年)	発生含有率(%)	2016年		2017年		2018年		2019年				
							○	△	×	予	統	果	中	予	統	果	中
香川県 (播磨灘)	線形判別分析	1～3月の赤潮発生	12月北風 or 局所発生	2	2005～ 12月表層塗藻密度	100 (1/4)	25 (0/5)	0 (1/4)	×	○ 0	× 0	×	×	○ @	×	×	—
香川県 (播磨灘戸)	線形判別分析	1～3月の赤潮発生	11月西風 or 局所発生	2	2005～ 12月降水量	100 (4/4)	50 (2/4)	0 (0/3)	×	○ 0	○ 0	○ 0	○ 0	△ △	△ △	△ △	—
岡山県 (播磨灘)	線形判別分析	1～2月の赤潮発生	11月西風 or 局所発生	2	2005～ 1月PO <sub>4</sub> -P(B-1m)	100 (4/4)	33 (1/3)	0 (0/4)	×	○ 0	×	△ 0	×	△ △	△ △	△ △	○ ×
岡山県 (播磨灘)	マハラニビス距離	1～2月の赤潮発生	12月日照時間(絶路) or 局所発生	2	2005～ 1月PO <sub>4</sub> -P(B-1m)	67 (2/3)	75 (3/4)	0 (0/3)	×	○ 0	×	△ △	×	△ @	×	○ ○	×
岡山県 (播磨灘戸)	線形判別分析	1～2月の赤潮発生	12月日照時間(岡山) or 局所発生	3	2005～ 12月PO <sub>4</sub> -P(B-1m)	100 (3/3)	60 (3/5)	0 (0/3)	×	○ 0	×	○ 0	○ 0	○ @	○ ○	○ ○	—
岡山県 (播磨灘戸)	マハラニビス距離	1～2月の赤潮発生	1月水温(B-1m) or 局所発生	2	2005～ 1月SO <sub>4</sub> -B(B-1m)	— (0/0)	86 (6/7)	0 (0/4)	×	○ 0	×	△ 0	○ ○	△ ○	△ △	△ △	—
淡水域	判別手法	目的変量	説明変量	説明変数 の数	判別期間 (年)	予察の中率	2016年		2017年		2018年		2019年				
兵庫県 (1～2月)	マハラニビス距離	1～2月の大流量	11月のN/P比 or 局所発生	2	2005～ 1月のPO <sub>4</sub> -P	100 (7/7)	0 (4/4)	0 0	○ @	○ 0	○ 0	○ 0	○ ○	○ ○	○ ○	○ ○	—
兵庫県 (3月)	マハラニビス距離	3月の大流量	2月の最高相対数 or 局所発生	3	2005～ 2月のPO <sub>4</sub> -P	100 (6/6)	0 (5/5)	0 0	○ @	○ 0	○ 0	○ 0	○ ○	○ ○	○ ○	—	
淡水域	判別手法	目的変量	説明変量	説明変数 の数	判別期間 (年)	発生含有率(%)	2016年		2017年		2018年		2019年				
大阪府	マハラニビス距離	各旬の赤潮発生	当該旬降水量 1旬前降水量 2月の分	2	2005.11～ 2016.2 (11.12.1, (1/1)) 2月の分	100 (20/20)	0 —	予 測 0 —	統 約 —	果 中 —	予 測 0 —	統 約 —	果 中 —	予 測 0 —	統 約 —	果 中 —	
							2018年11月		2018年12月		2019年1月		2019年2月				
							○ ×	×	×	○ @	△ △	×	△ △	×	△ △	○ ○	—
							△ ×	△ △	△ △	△ △	△ △	×	△ △	×	△ △	○ ○	—
							△ ×	△ △	△ △	△ △	△ △	×	△ △	×	△ △	○ ○	—
							△ ×	△ △	△ △	△ △	△ △	×	△ △	×	△ △	○ ○	—

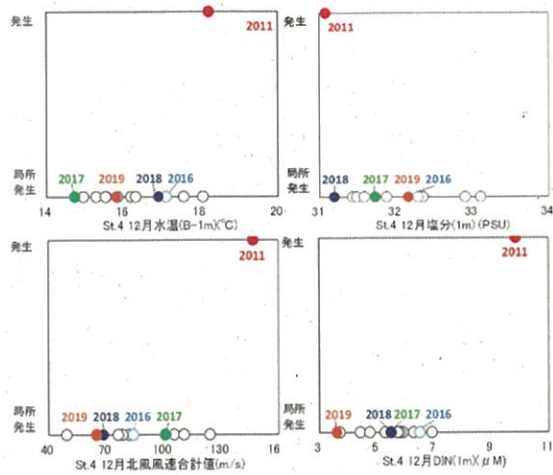


図 49 徳島県海域におけるユーカンピア赤潮発生年（1月発生）の特徴解析例。赤丸が1月発生年、1月に赤潮が発生した年は12月に水温が高く、塩分が低く、北風風速合計値が高く、栄養塩濃度が高いという特徴を有する可能性が示唆された。

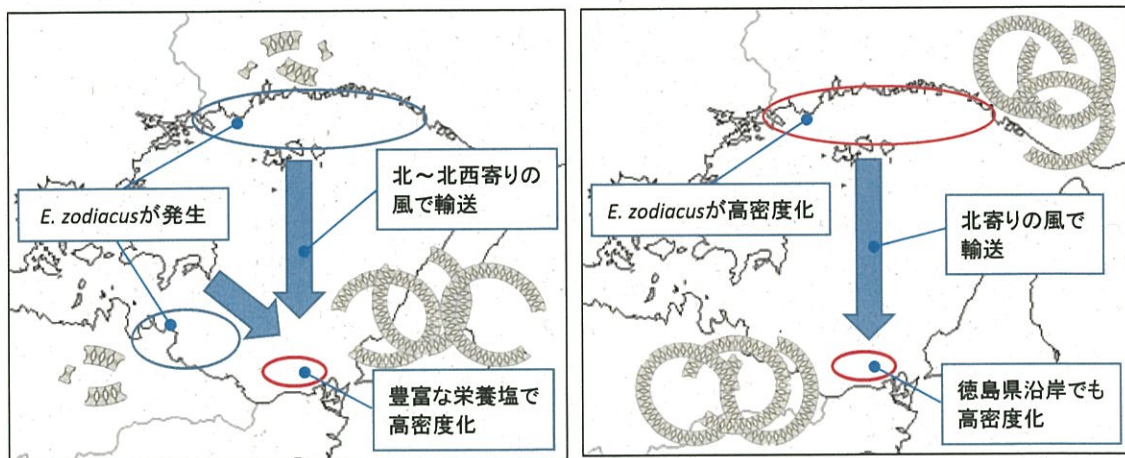


図 50 徳島県海域におけるユーカンピア赤潮の発生シナリオ（1月発生）。他海域で発生した *E.zodiacus* が北～北西寄りの風で輸送され、徳島県海域に存在する豊富な栄養塩で高密度化すると考えられる。

図 51 徳島県海域におけるユーカンピア赤潮の発生シナリオ（2月または3月発生）。他海域で高密度化した *E.zodiacus* が北寄りの風で輸送され、徳島県海域でも高密度化する可能性が示唆された。